

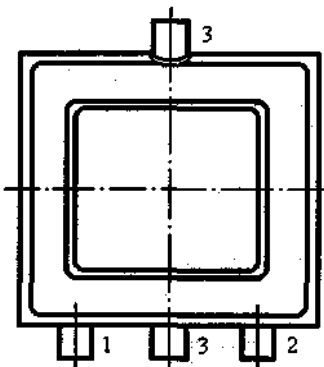
**ТРАНЗИСТОРЫ
2T664 91, 2T665 91
СПРАВОЧНЫЙ ЛИСТ
ЮФ.432146.002 Д1**

2010

Основное назначение – кремниевые эпитаксиально-планарные р-п-р транзисторы 2T664A91, 2T664B91 и п-р-п транзисторы 2T665A91, 2T665B91 в металлокерамическом корпусе для поверхностного монтажа 4601.3-1, предназначенные для работы в ключевых и линейных схемах аппаратуры специального назначения.

Общие данные

Корпус 4601.3-1 металлокерамический. Основные габаритные и установочные размеры приведены на габаритном чертеже ЮФ.432146.002 ГЧ.



Т а б л и ц а 1 – Назначение выводов

Номер контактной площадки	Назначение
1	База
2	Эмиттер
3	Коллектор

Масса транзисторов – не более 0,15 г.

Маркировка транзисторов кодом:

«1А1» – 2T664A91; «2А1» – 2T665A91;

«1Б1» – 2T664B91; «2Б1» – 2T665B91.

Пример обозначения транзисторов при заказе и в конструкторской документации:

Транзистор 2T664A91 – АЕЯР.432140.561 ТУ.

Внешние воздействующие факторы

Т а б л и ц а 2 – Внешние воздействующие факторы

Воздействующий фактор и его характеристики	Значение характеристики
Синусоидальная вибрация:	
диапазон частот, Гц	1 – 5 000
амплитуда ускорения, $\text{м} \cdot \text{с}^{-2}$ (g)	400 (40)
Механический удар:	
одиночного действия:	
пиковое ударное ускорение, $\text{м} \cdot \text{с}^{-2}$ (g)	15 000 (1500)
длительность действия ударного ускорения, мс	0,1 – 2,0
многократного действия:	
пиковое ударное ускорение, $\text{м} \cdot \text{с}^{-2}$ (g)	1 500 (150)
длительность действия ударного ускорения, мс	1 – 5
Линейное ускорение, $\text{м} \cdot \text{с}^{-2}$ (g)	5 000 (500)
Акустический шум:	
диапазон частот, Гц	50 – 10 000
уровень звукового давления (относительно $2 \cdot 10^{-5}$ Па), дБ	160
Атмосферное пониженное давление, Па (мм рт. ст.):	
рабочее	$1,3 \cdot 10^{-4}$ (10^{-6})
предельное	$1,3 \cdot 10^{-4}$ (10^{-6})
Повышенное рабочее давление, ат	3
Повышенная температура корпуса, °C:	
рабочая	125
предельная	125
Пониженная температура среды, °C:	
рабочая	минус 60
предельная	минус 60
Смена температур °C:	
от повышенной рабочей температуры среды	125
до пониженной рабочей температуры среды	минус 60
Повышенная относительная влажность при 35 °C, %	98
Объемная доля компонентов контрольной среды, %:	
гелиево-воздушная	90
аргоно-воздушная	90
аргоно-азотная	90

Основные технические данные

Т а б л и ц а 3 – Электрические параметры транзисторов

Наименование параметра, единица измерения (режим измерения)	Буквенное обозначение параметра	Норма параметра		Температура окружающей среды, °C
		не менее	не более	
Статический коэффициент передачи тока ($U_{KB} = 2$ В, $I_E = 0,15$ А) 2T664A91, 2T664B91, 2T665A91, 2T665B91	h_{21E}	80 80 20	250 — —	25 ± 10 125 ± 5 -60 ± 3
Граничное напряжение, В ($I_K = 30$ мА, $\tau_i = 300 \dots 600$ мкс, $Q \geq 100$, $\Delta t \geq 50$ мкс, $U_{KE\text{ оп}} = 95$ В $\pm 10\%$) 2T664A91, 2T665A91 2T664B91, 2T665B91	$U_{KE\text{оп}}$	80 60	— —	25 ± 10 25 ± 10
Напряжение насыщения коллектор-эмиттер, В ($I_K = 150$ мА, $I_B = 15$ мА) 2T664A91, 2T664B91, 2T665A91, 2T665B91	$U_{KE\text{ нас}}$	—	0,3	25 ± 10
Напряжение насыщения база-эмиттер, В ($I_K = 150$ мА, $I_B = 15$ мА) 2T664A91, 2T664B91, 2T665A91, 2T665B91	$U_{BE\text{ нас}}$	—	1,1	25 ± 10
Обратный ток коллектора, мкА ($U_{KB} = 100$ В) 2T664A91, 2T664B91, 2T665A91, 2T665B91	I_{KB0}	— —	10 100	25 ± 10 125 ± 5

Окончание таблицы 3

Наименование параметра, единица измерения (режим измерения)	Буквенное обозначение параметра	Норма параметра		Температура окружающей среды, °C
		не менее	не более	
Обратный ток эмиттера, мкА ($U_{\text{ЭБ}} = 5 \text{ В}$) 2T664A91, 2T664B91, 2T665A91, 2T665B91	$I_{\text{ЭБо}}$	—	10	25 ± 10
Время спада, мкс ($I_K = 0,2 \text{ А}$, $U_{K\bar{E}} = 20 \text{ В}$, $I_{B1} = I_{B2} = 0,04 \text{ А}$, $Q \geq 100$, $\tau_n = (17 \pm 1,7) \text{ мкс}$, $U_{\text{ОСТ}} \leq 0,1 \text{ В}$) 2T664A91, 2T664B91 2T665A91, 2T665B91	$t_{\text{СП}}$	—	0,3	25 ± 10
—	—	—	0,2	25 ± 10
<i>П р и м е ч а н и е – При измерении $t_{\text{СП}}$ $U_{\text{ОСТ}}$ – амплитуда напряжения между импульсами.</i>				

Т а б л и ц а 4 – Предельно допустимые электрические режимы эксплуатации транзисторов в диапазоне рабочих температур

Наименование параметра режима, единица измерения (режим измерения)	Буквенное обозначение параметра	Норма параметра	Примечание
Максимально допустимое постоянное напряжение коллектор-база, В 2T664A91, 2T665A91 2T664B91, 2T665B91	$U_{K\bar{B} \text{ max}}$	120 100	1
Максимально допустимое постоянное напряжение коллектор-эмиттер, В ($R_{E\bar{B}} \leq 1 \text{ к}\Omega$) 2T664A91, 2T665A91 2T664B91, 2T665B91	$U_{K\bar{E} \text{ max}}$	100 80	1

Продолжение таблицы 4

Наименование параметра режима, единица измерения (режим измерения)	Буквенное обозначение параметра	Норма параметра	При- ме- ча- ни- е
Максимально допустимое постоянное напряжение эмиттер-база, В 2T664A91, 2T664B91, 2T665A91, 2T665B91	$U_{\text{ЭБ max}}$	5	1
Максимально допустимый постоянный ток коллектора, А 2T664A91, 2T664B91, 2T665A91, 2T665B91	$I_{\text{K max}}$	1,0	1, 2
Максимально допустимый импульсный ток коллектора, А 2T664A91, 2T664B91, 2T665A91, 2T665B91	$I_{\text{K, и max}}$	1,5	1, 2, 3
Максимально допустимый постоянный ток базы, А 2T664A91, 2T664B91, 2T665A91, 2T665B91	$I_{\text{Б max}}$	0,3	1, 2
Максимально допустимая постоянная рассеиваемая мощность коллектора (с теплоотводом), Вт: - при температуре корпуса от минус 60 °C до 25 °C 2T664A91, 2T664B91, 2T665A91, 2T665B91 - при температуре корпуса 125 °C 2T664A91, 2T664B91, 2T665A91, 2T665B91	$P_{\text{K max}}$	3,6 0,7	4
Максимально допустимая постоянная рассеиваемая мощность коллектора (без теплоотвода), Вт: - при температуре среды от минус 60 °C до 25 °C 2T664A91, 2T664B91, 2T665A91, 2T665B91 - при температуре среды 125 °C 2T664A91, 2T664B91, 2T665A91, 2T665B91	$P_{\text{K max}}$	1,0 0,26	5

Окончание таблицы 4

П р и м е ч а н и я

- 1 Для всего диапазона рабочих температур.
- 2 При условии не превышения $P_{K\max}$.
- 3 При $\tau_n \leq 10 \text{ мкс}$, $Q \geq 5$.
- 4 В диапазоне температур корпуса от 25 °C до 125 °C мощность линейно снижается на 0,029 Вт на градус.
- 5 $P_{K\max}$ определена для транзисторов, распаянных на печатную плату размером $(10 \times 10 \times 1,5) \text{ мм}^3$. В диапазоне температур среды от 25 °C до 125 °C мощность линейно снижается на 0,0074 Вт на градус.

Максимально допустимая температура р-п перехода (криスタлла) – 150 °C.

Тепловое сопротивление переход-корпус – не более 35 °C/Вт, переход-среда – не более 95 °C/Вт.

Требования по надежности

Наработка транзисторов t_λ в режимах и условиях, допускаемых ТУ, должна быть не менее 80 000 ч, а в облегченных режимах (при $T_{\text{ПЕР}} \leq 133 \text{ }^\circ\text{C}$) – не менее 140 000 ч в пределах срока службы $T_{\text{сл}}$ 25 лет.

Гамма-процентный срок сохраняемости T_{cy} транзисторов при $\gamma = 99,5\%$ при хранении в упаковке изготовителя в условиях отапливаемых хранилищ, хранилищ с кондиционированием воздуха по ГОСТ В 9.003, а также вмонтированных в защищённую аппаратуру или находящихся в защищённом комплекте ЗИП во всех местах хранения, должен быть не менее 25 лет.

Значение гамма-процентного срока сохраняемости T_{cy} в условиях, отличающихся от указанных, устанавливают в зависимости от мест хранения, исходя из коэффициентов сокращения K_c :

- неотапливаемое хранилище – 1,5;
- навес или жалюзийное хранилище – 2,0.

Указания по применению и эксплуатации

- 1 Указания по применению и эксплуатации – по ГОСТ В 28146, ОСТ 11 336.907.0 с дополнениями и уточнениями, приведёнными в настоящем разделе.**
- 2 Применение транзисторов в функциональных схемах, режимах и условиях, отличающихся от требований ТУ, должно быть согласовано в соответствии с ГОСТ 2.124 и ОСТ 11 336.907.0.**
- 3 Гамма-процентный ресурс транзисторов при $\gamma = 95\%$ в режимах и условиях, допускаемых ТУ, составляет 160 000 ч.**
- 4 Сведения о содержании драгоценных металлов в транзисторах указываются в этикетках.**
- 5 Значение собственной резонансной частоты – не менее 8 000 Гц.**
- 6 Транзисторы пригодны для монтажа в аппаратуре методом групповой пайки одноразовым погружением корпуса в расплавленный припой (волну припоя) при температуре не более – 265 °C, время пайки – не более 4 с.**

Типовые характеристики

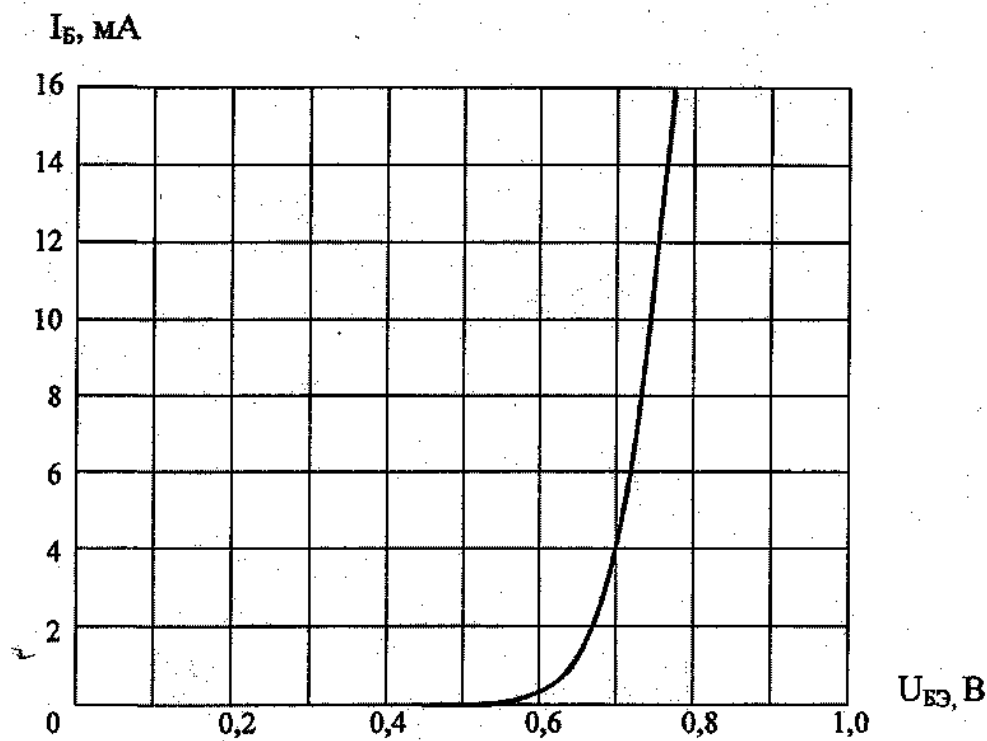


Рисунок 1 – Типовая входная характеристика в схеме с общим эмиттером транзисторов 2T664A91, 2T664Б91 при $U_{CE} = 0$, $t_{окр} = (25 \pm 10)^\circ\text{C}$

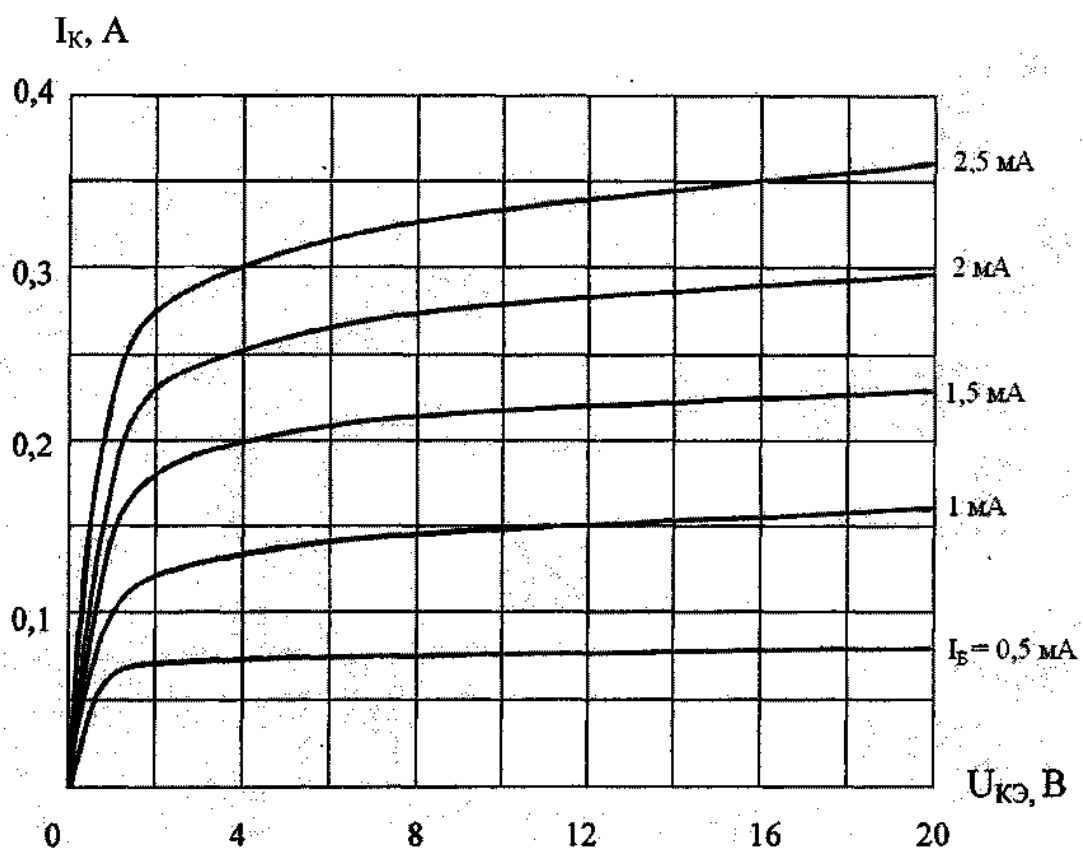


Рисунок 2 – Типовые выходные характеристики в схеме с общим эмиттером транзисторов 2T664A91, 2T664B91 при $t_{окр} = (25 \pm 10)^\circ\text{C}$

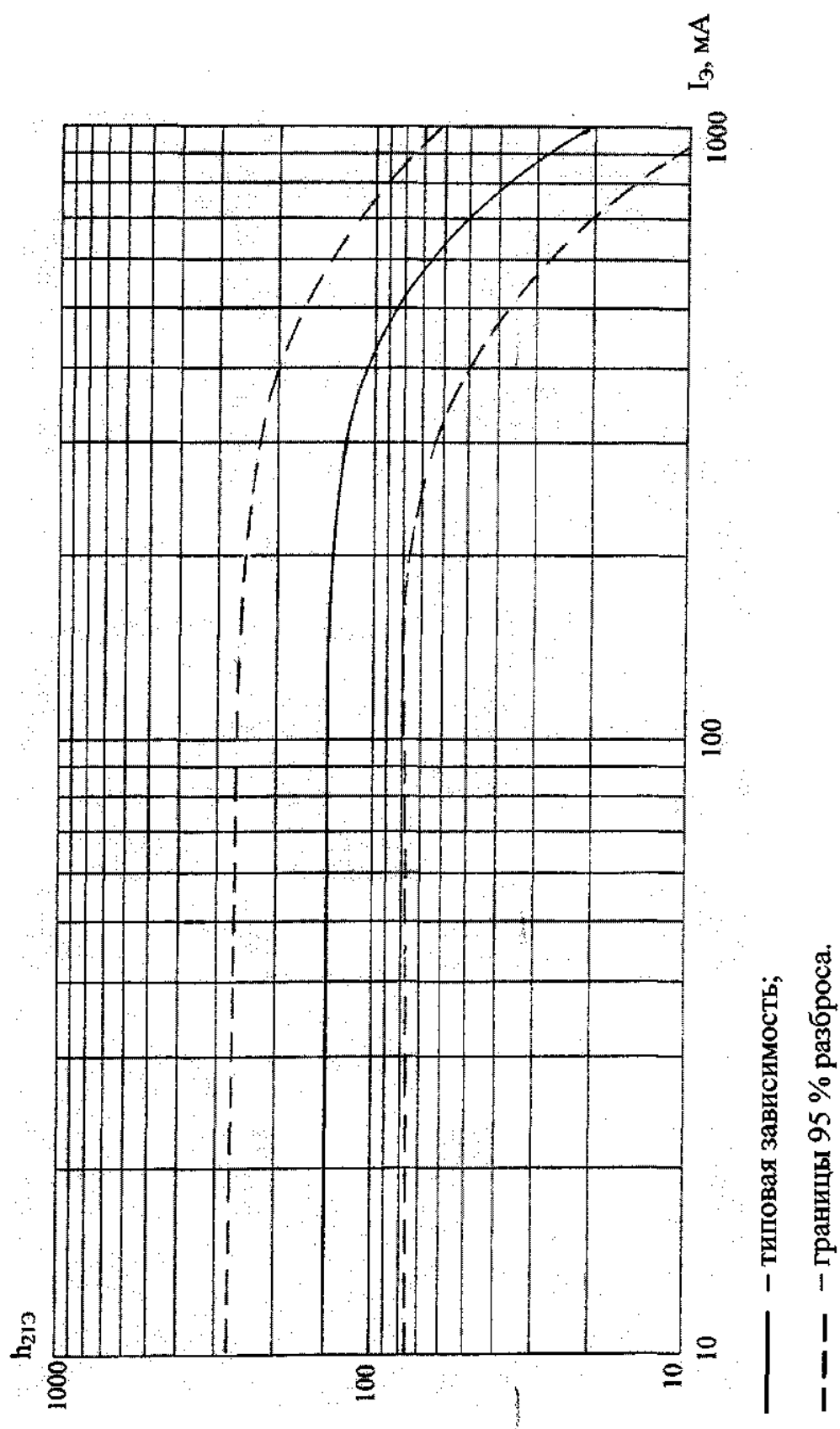


Рисунок 3 – Типовая зависимость статического коэффициента передачи тока h_{213} от тока эмиттера I_e транзисторов 2T664A91, 2T664B91 при $U_{KB} = 2$ В, $t_{опр} = (25 \pm 10)$ °С

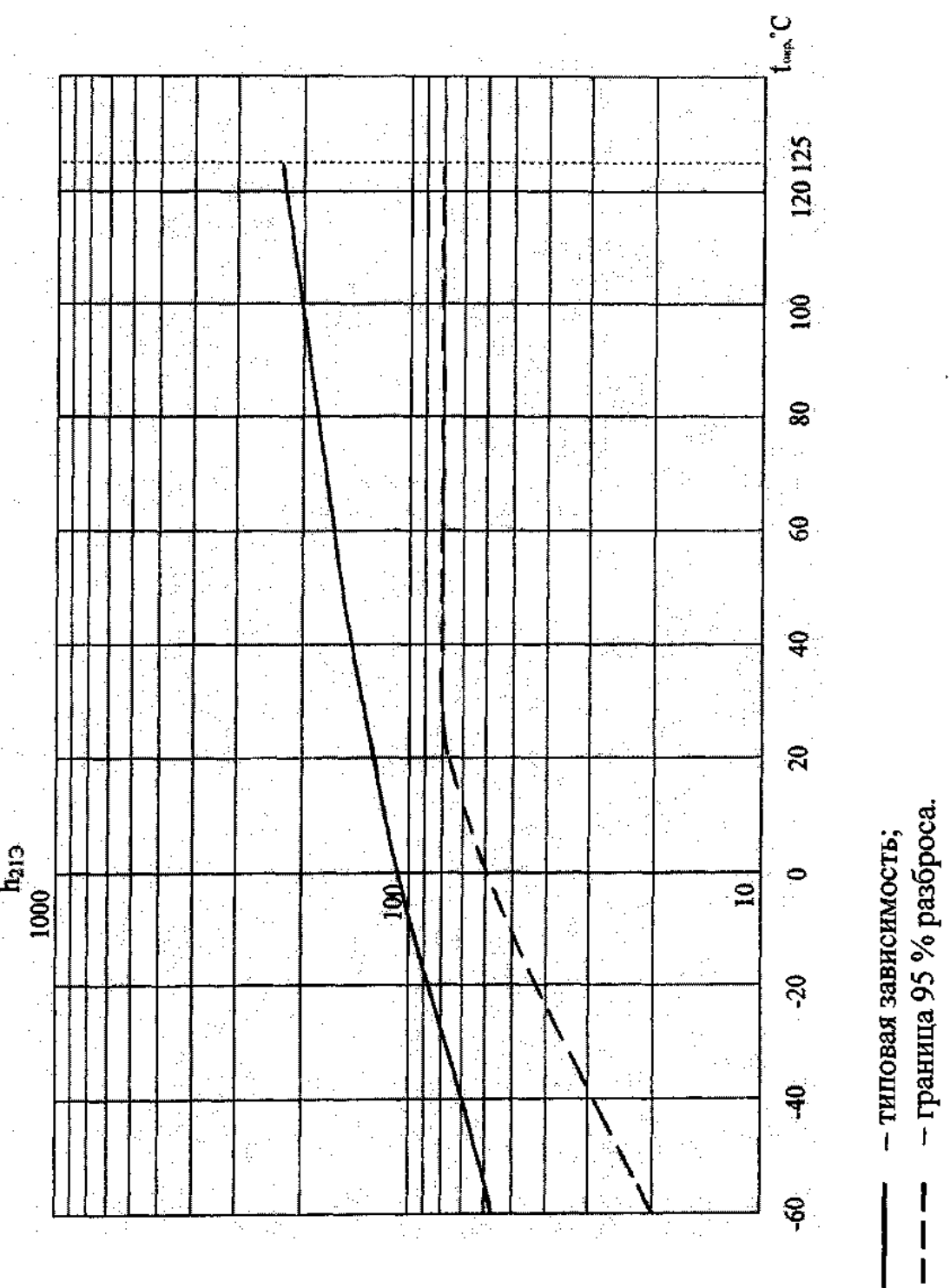


Рисунок 4 – Типовая зависимость статического коэффициента передачи тока h_{21} от температуры окружающей среды $t_{\text{окр}}$ транзисторов 2T664A91, 2T664B91 при $U_{\text{КБ}} = 2 \text{ В}$, $I_3 = 150 \text{ мА}$

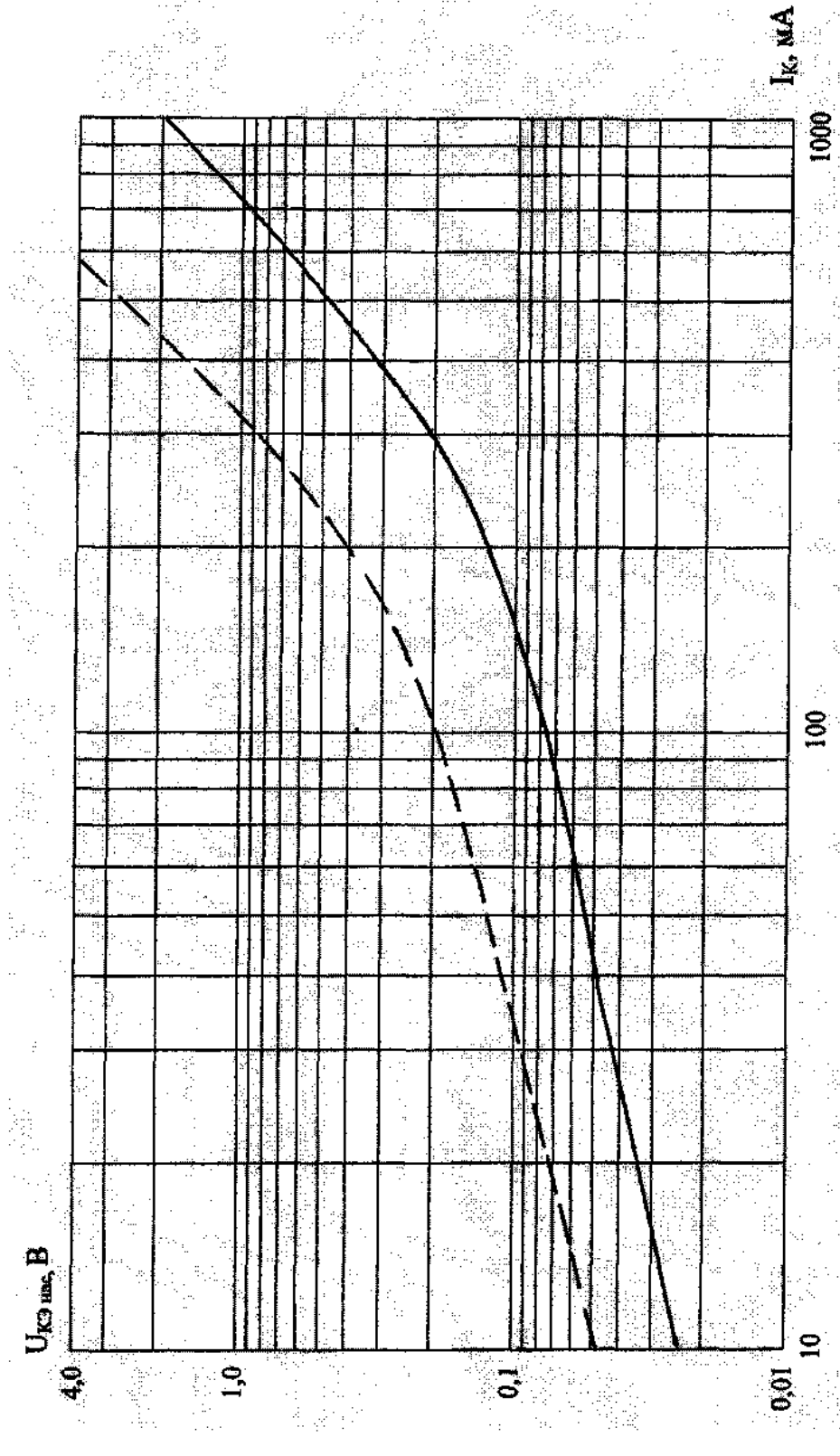


Рисунок 5 – Типовая зависимость напряжения насыщения коллектор-эмиттер $U_{CE\ nas}$ от тока коллектора I_k транзисторов 2T664A91, 2T664B91 при отношении $I_k / I_B = 10$, $t_{\text{оп}} = (25 \pm 10)^\circ\text{C}$

- типовая зависимость,
- — — граница 95 % разброса.

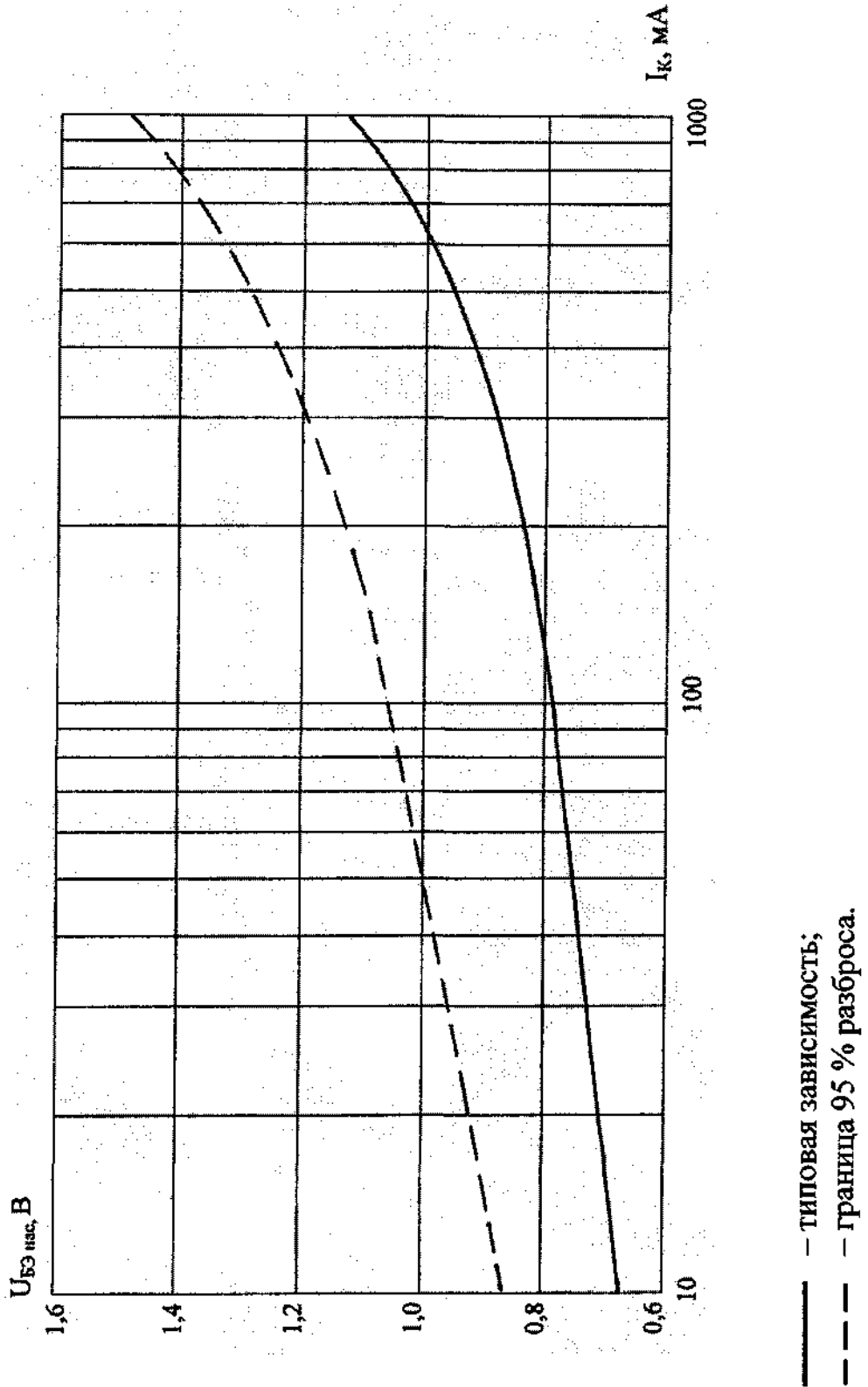


Рисунок 6 – Типовая зависимость напряжения насыщения база-эмиттер $U_{BE\text{ nas}}$ от тока коллектора I_C транзисторов 2T664A91, 2T664B91 при отношении $I_C / I_B = 10$, $t_{окр} = (25 \pm 10)^\circ\text{C}$

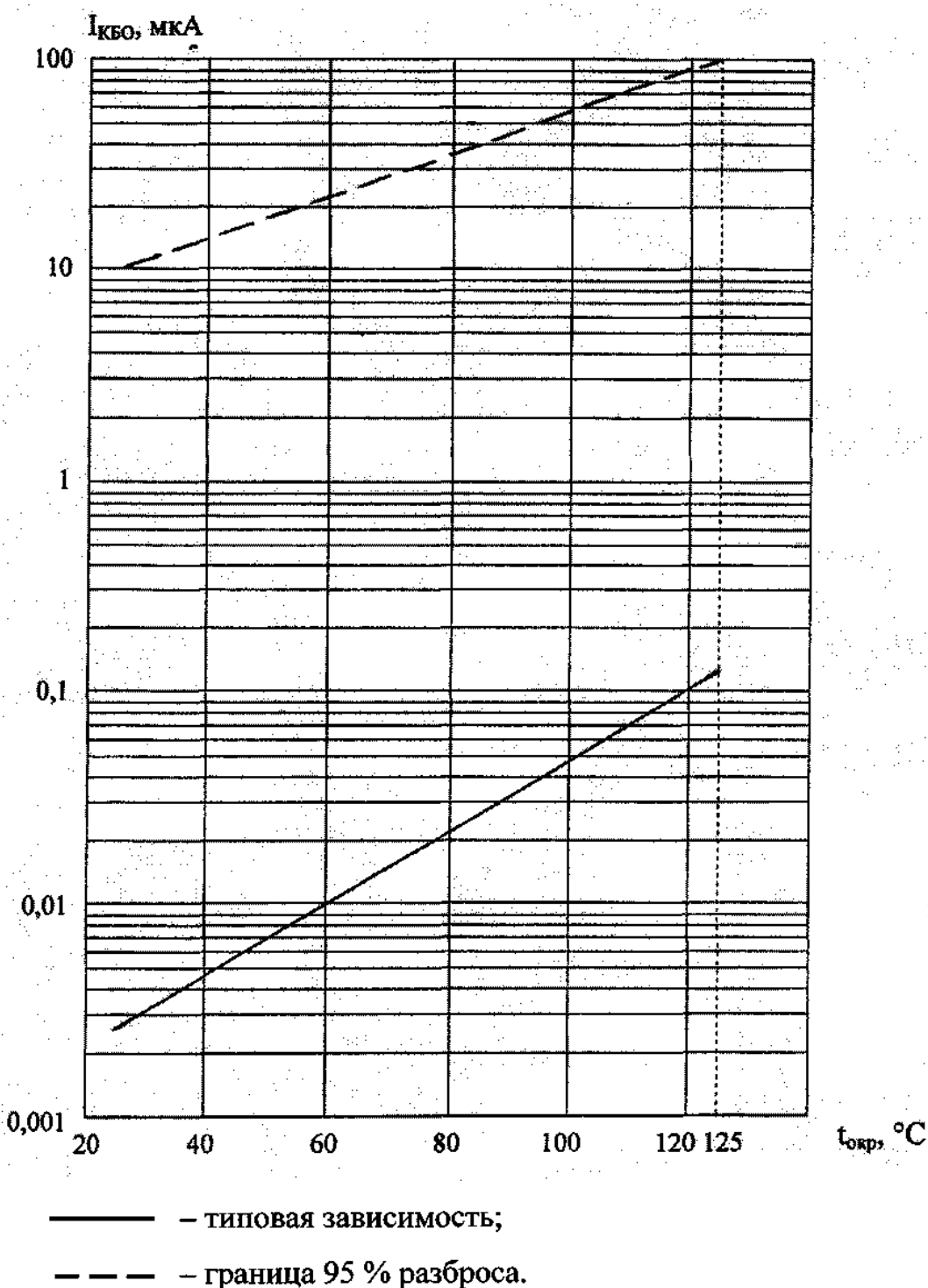


Рисунок 7 – Типовая зависимость обратного тока коллектора I_{KBO} от температуры окружающей среды $t_{окр}$ транзисторов 2T664A91, 2T664B91 при $U_{KB} = 100$ В

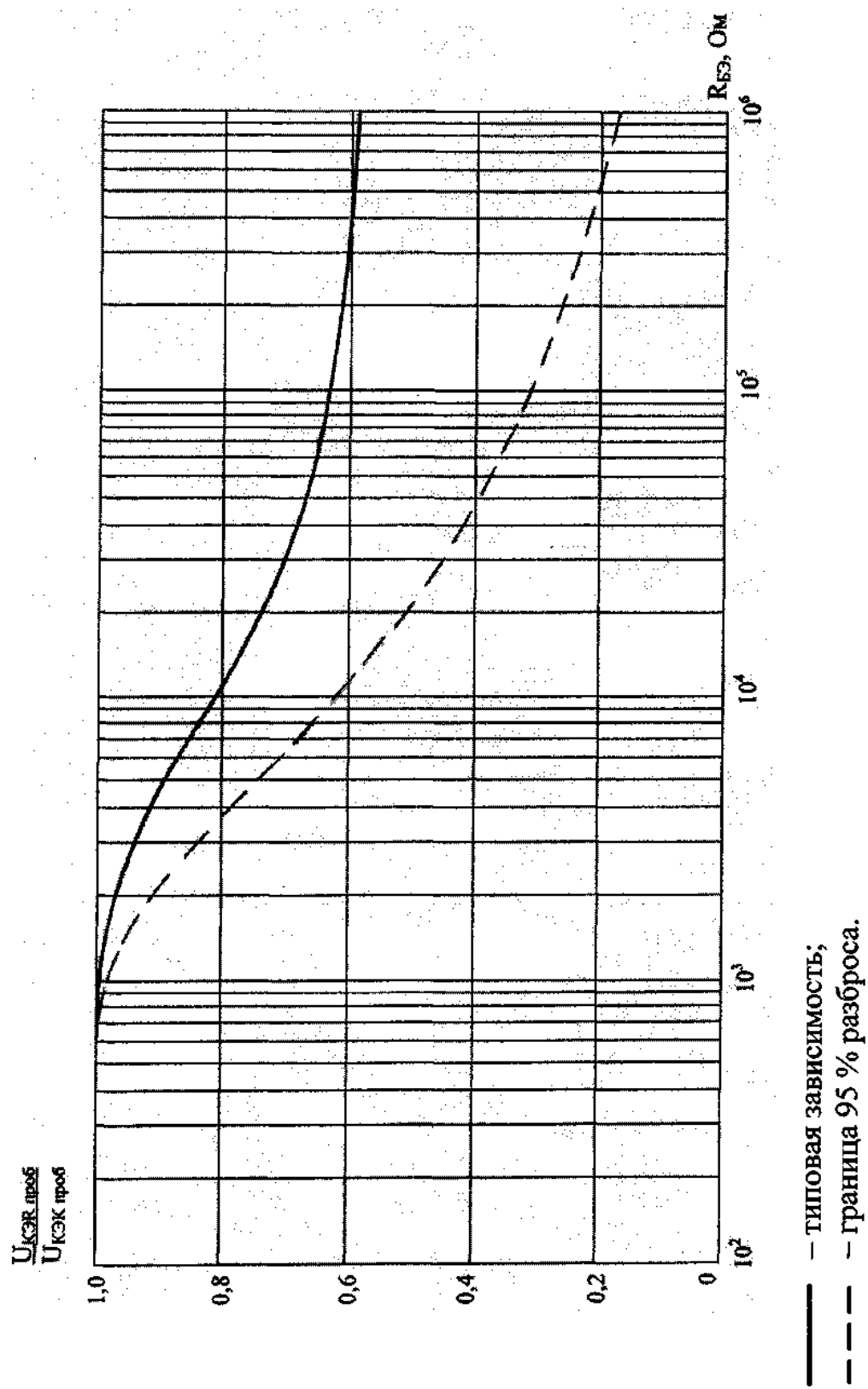


Рисунок 8 – Типовая зависимость постоянного напряжения коллектор-эмиттер $U_{\text{КЭР проб}} / U_{\text{КЭК проб}}$ от сопротивления в цепи базы-эмиттера $R_{\text{БЭ}}$ транзисторов 2T664A91, 2T664B91 при $I_{\text{K}} = 100 \text{ мА}$, $t_{\text{окр}} = (25 \pm 10)^\circ\text{C}$

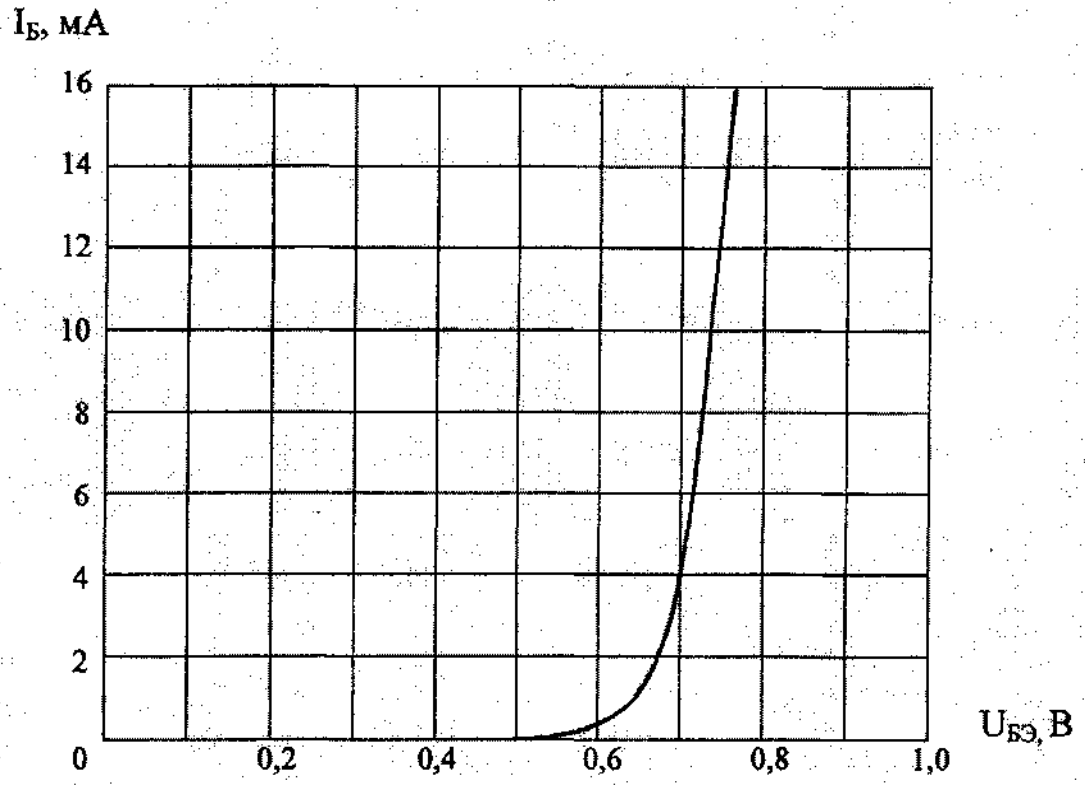


Рисунок 9 – Типовая входная характеристика в схеме с общим эмиттером транзисторов 2T665A91, 2T665B91 при $U_{КЭ} = 0$, $t_{окр} = (25 \pm 10)^\circ\text{C}$

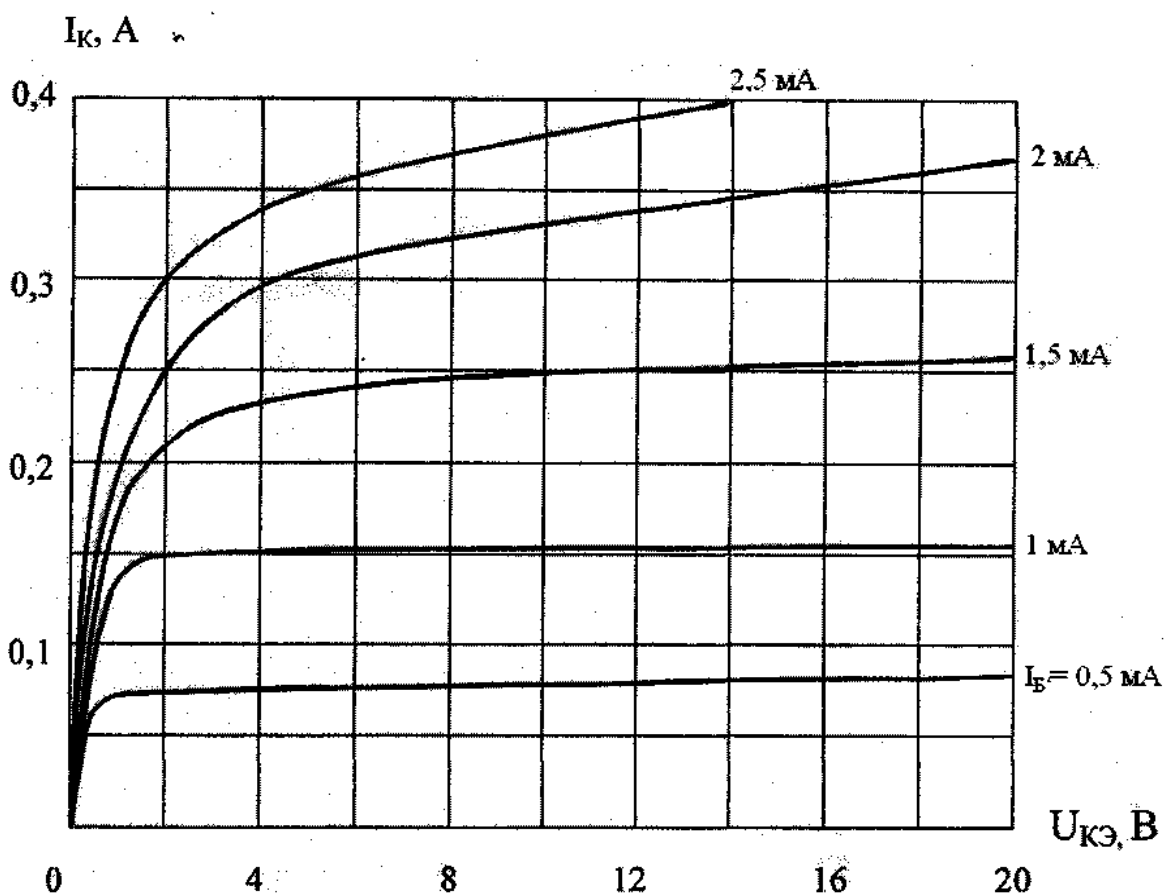


Рисунок 10 – Типовые выходные характеристики в схеме с общим эмиттером транзисторов 2T665A91, 2T665B91 при $t_{окр} = (25 \pm 10)^\circ\text{C}$

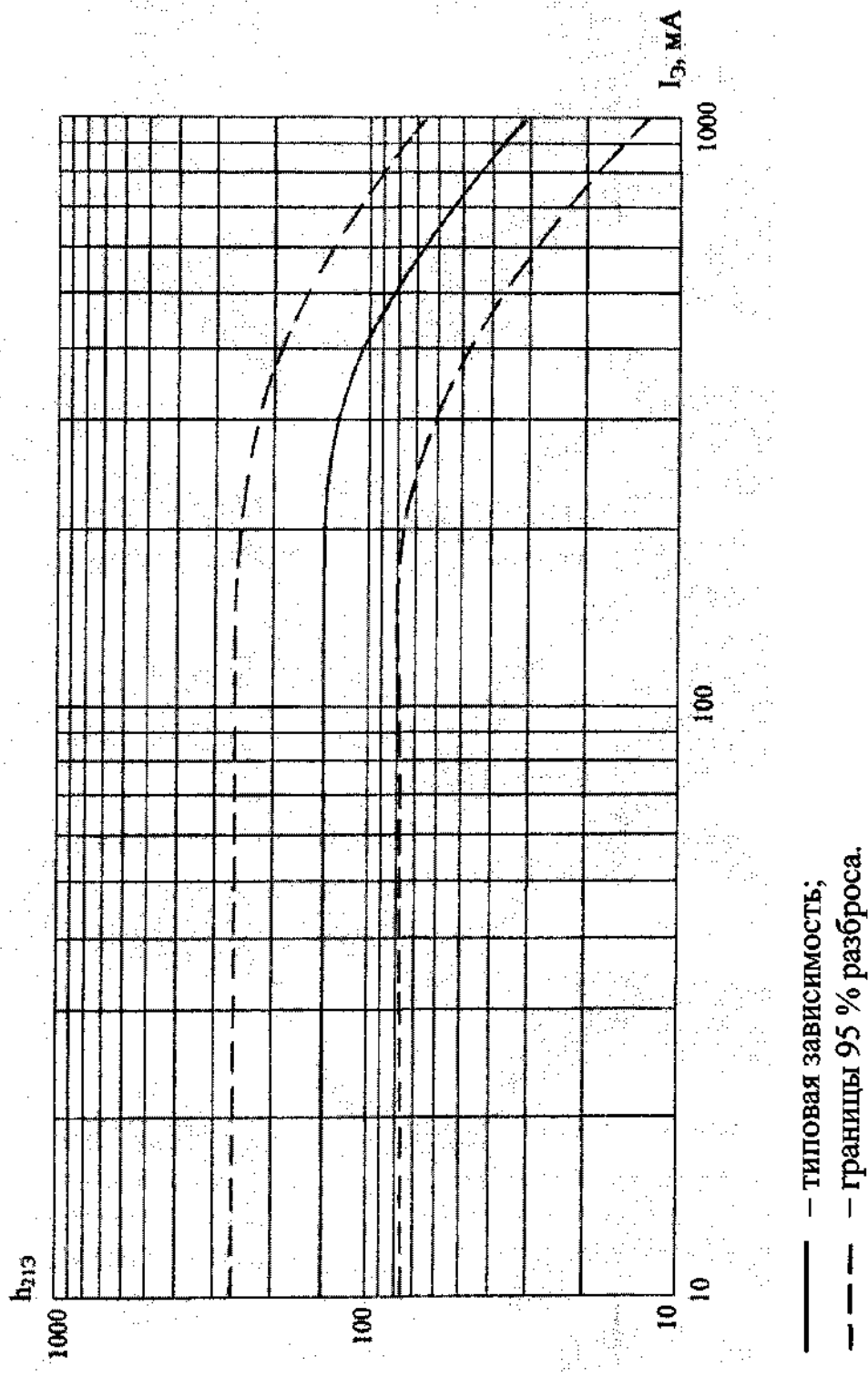


Рисунок 11 – Типовая зависимость статического коэффициента передачи тока h_{213} от тока эмиттера I_3 транзисторов 2T665A91, 2T665B91 при $U_{KB} = 2$ В, $t_{окр} = (25 \pm 10)$ °С

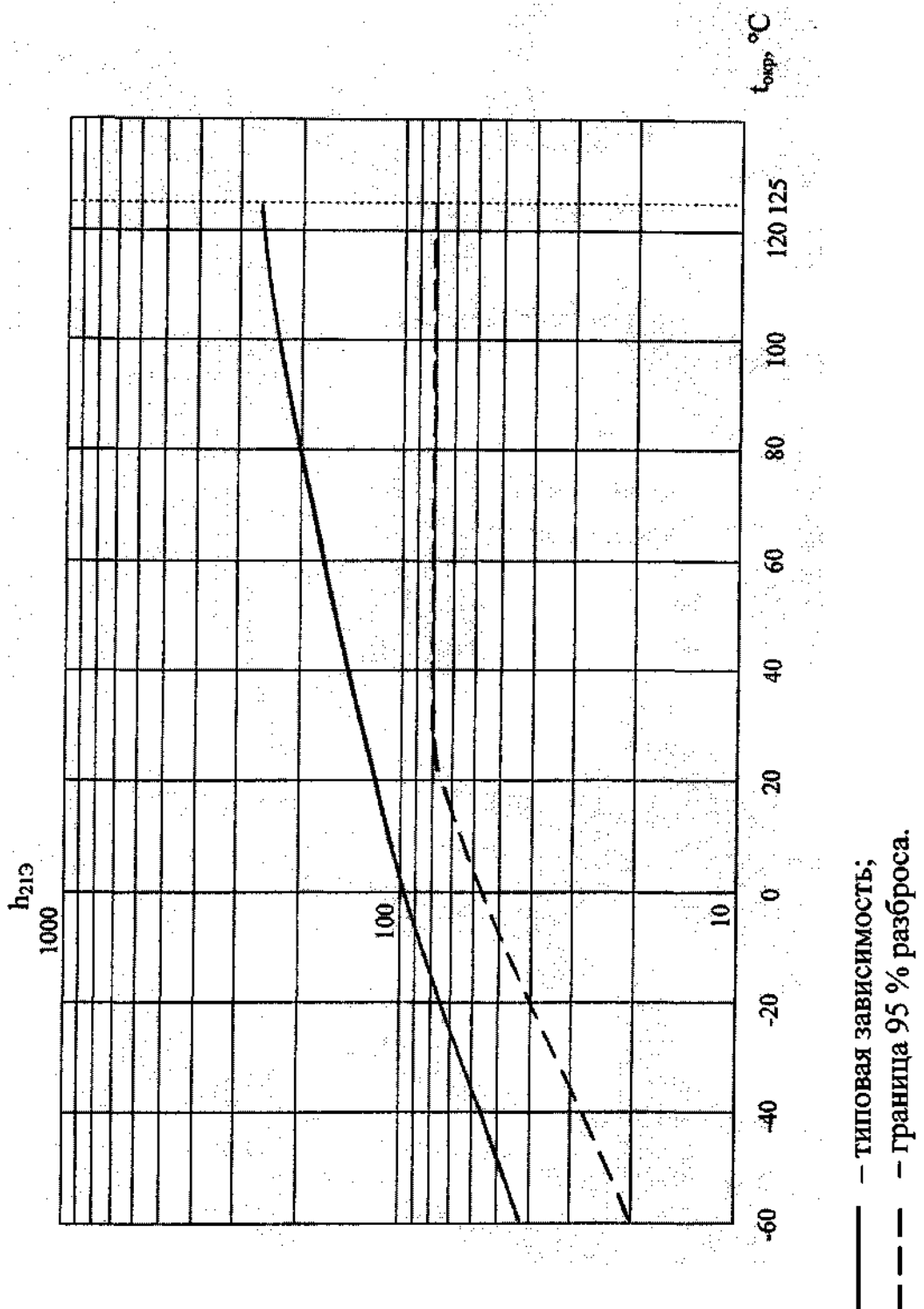


Рисунок 12 – Типовая зависимость статического коэффициента передачи тока h_{213} от температуры окружающей среды $t_{окр}$ транзисторов 2T665A91, 2T665B91 при $U_{Kb} = 2$ В, $I_3 = 150$ мА

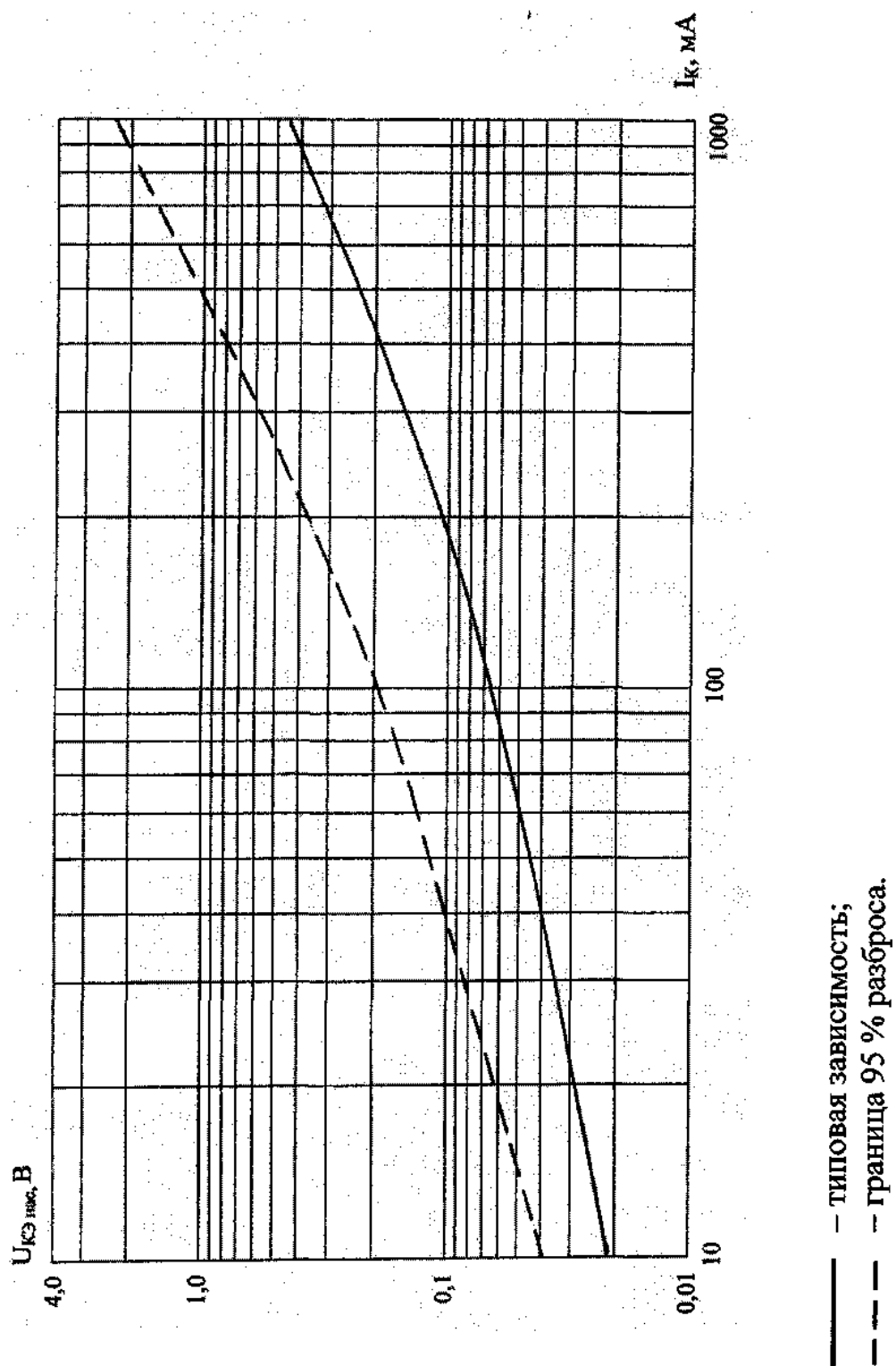


Рисунок 13 – Типовая зависимость напряжения насыщения коллектор-эмиттер $U_{CE(sat)}$ от тока коллектора I_K транзисторов 2T665A91, 2T665B91 при отношении $I_K / I_b = 10$, $t_{окр} = (25 \pm 10)^\circ\text{C}$

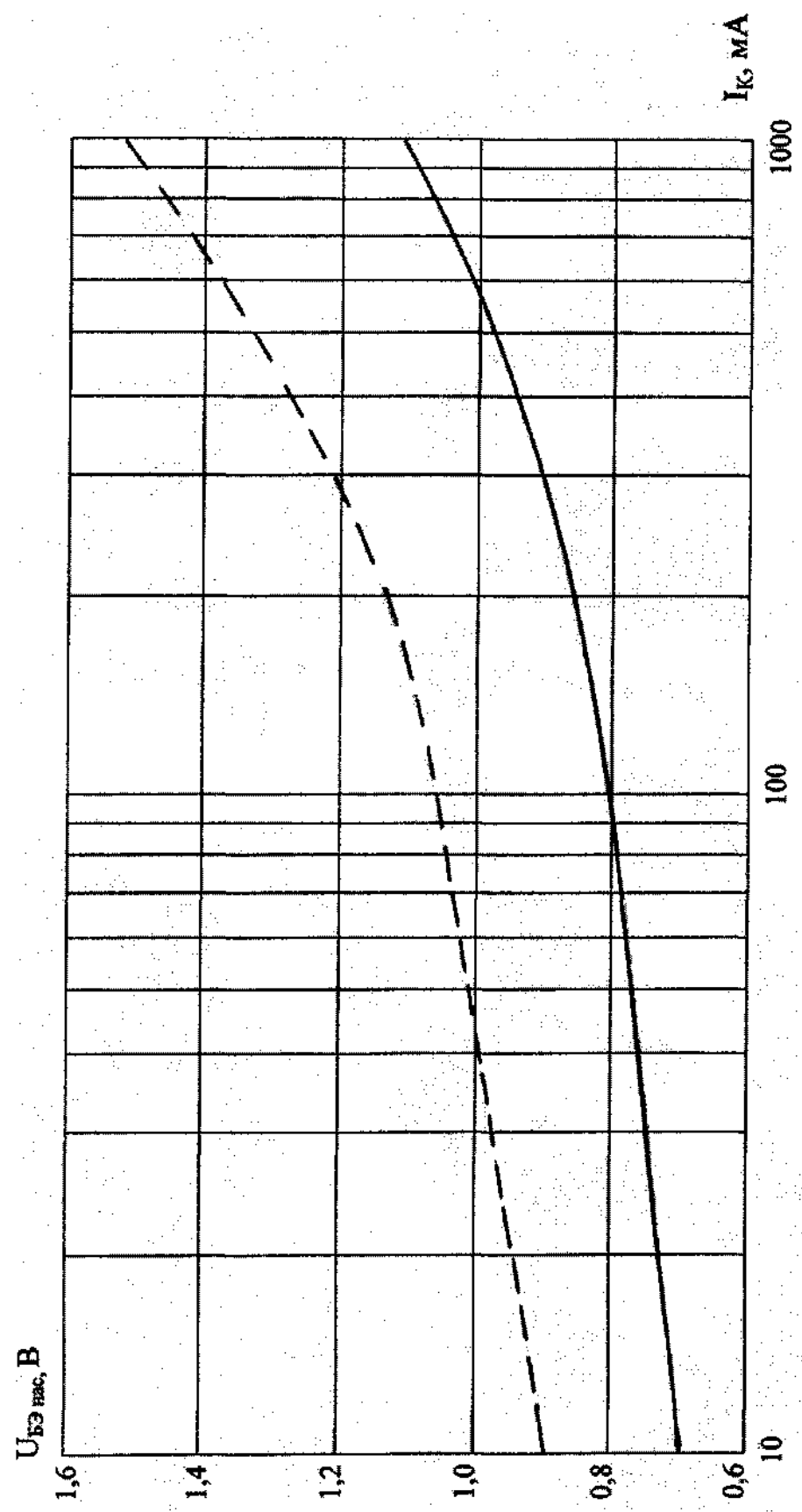
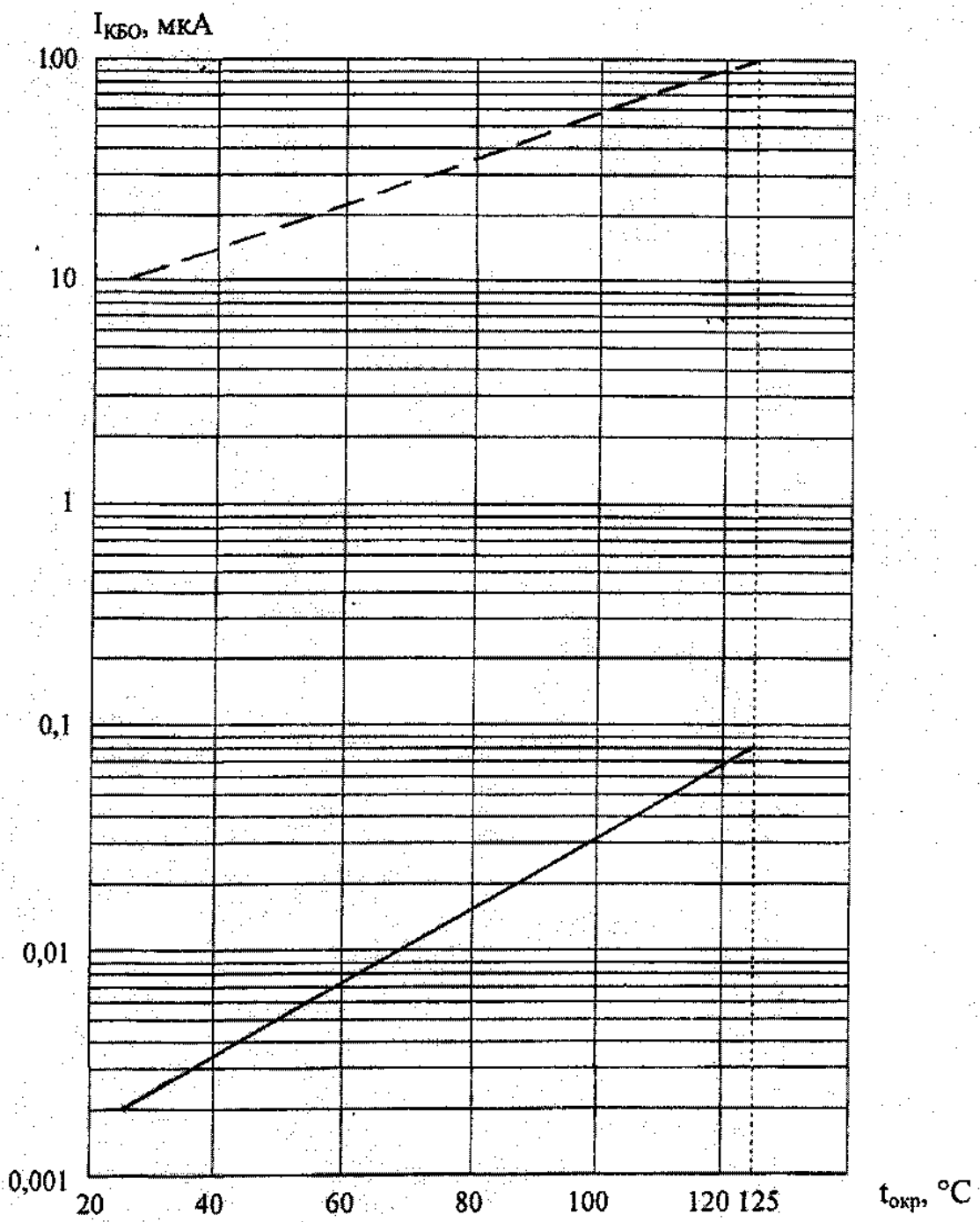


Рисунок 14 – Типовая зависимость напряжения насыщения база-эмиттер $U_{BE\text{ нас}}$ от тока коллектора I_K транзисторов 2T665A91, 2T665B91 при отношении $I_K / I_B = 10$, $t_{окр} = (25 \pm 10)^\circ\text{C}$



— типовая зависимость;
— — — — граница 95 % разброса.

Рисунок 15 – Типовая зависимость обратного тока коллектора I_{KBO} от температуры окружающей среды t_{okp} транзисторов 2T665A91, 2T665B91 при $U_{KB} = 100$ В

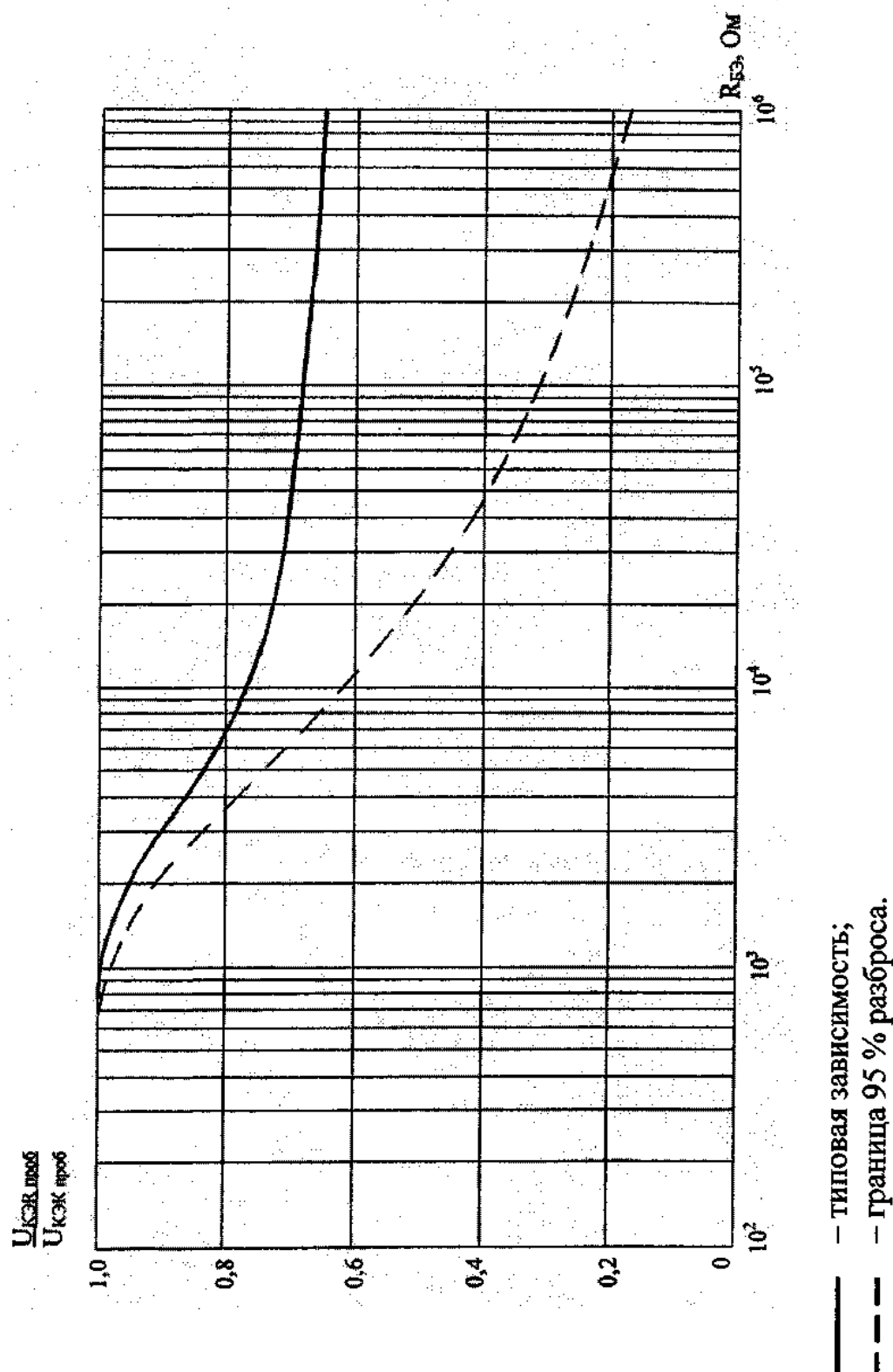


Рисунок 16 – Типовая зависимость постоянного напряжения коллектор-эмиттер $U_{CE\text{раб}} / U_{CE\text{проб}}$ от сопротивления в цепи база-эмиттер R_{BE} транзисторов 2T665A91, 2T665B91 при $I_K = 100 \text{ мА}$, $t_{окр} = (25 \pm 10)^\circ\text{C}$